

## ДОСЛІДЖЕННЯ РЕАЛІЗАЦІЇ ЛІНІЙНОГО ОПЕРАТОРА ЗГОРТКИ ЦИФРОВОГО ЗОБРАЖЕННЯ ПРИ 16—БІТНИХ ОБЧИСЛЕННЯХ

**Анотація:** Досліджено реалізацію згортки складової растру з квадратною маскою лінійного двовимірного фільтру. Доведено, що за допомогою 16—бітних операцій та трансляції на мові асемблера можна отримувати вирази від 8 до 11 разів по швидкодії, при використанні в програмному забезпеченні.

**Анотація:** Исследована реализация свертки составляющей растра цифрового изображения с квадратной маской линейного двумерного фильтра. Доказано, что при использовании 16—битных операций и встроенного ассемблера, можно получить выигрыш от 8 до 11 раз, по быстройдействию в программном обеспечении.

**Annotation:** As the title implies the article describes about the implementation of convolution operation in which used the square mask of two-dimensional linear filter for the further digital image processing. Performance can be improved from 8 to 11 times if 16—bit SIMD operations and GCC Inline Assembly were implemented in algorithm.

**Ключові слова:** згортка, цифрове зображення, лінійний оператор, авто-векторизація, SIMD, асемблер.

**Постановка проблеми.** Процедура автоматичної векторизації програмного коду, базис якої складають SIMD команди асемблера, є основою для прискорення значної кількості програм [1].

Отже стан розвитку сучасних компіляторів можна відслідковувати за тим, як кожен із них справляється з завданням векторизації коду, та чи є після цього помилки виконання (що не є рідкістю). Сучасні спеціалісти надають цьому чиннику дуже великого значення, отже використовують саме той компілятор, що призведе до підвищення швидкодії їх програм.

Особливо важливим є прискорення процесу обробки цифрових зображень (ЦЗ), як окремо, так і відеокадрів (при опрацюванні відео потоку).

Тут треба враховувати три головні фактори: 1) обчислювальна складність методу обробки ЦЗ; 2) чи оптимально він (метод) був реалізований, у вигляді програмного коду; 3) та апаратні можливості.

Отже надамо приклад: однією з найпростіших операцій при роботі з ЦЗ є згортка кольорової (або монохромної) складової растру з квадратною маскою деякого лінійного двовимірного фільтру:

$$P_{i,j} = F \left( p_{i,j} \right) = \sum_{i=i-r_i}^{i+r_i} \sum_{j=j-r_j}^{j+r_j} \gamma_{i-i,j-j} \circ p_{i,j} \quad (1)$$

де:  $i = -\frac{k_i}{2}, k_i$ ;  $j = -\frac{k_j}{2}, k_j$ ;  $a$   $p_{i,j}$  — кольорова складова растру;

$F(i,j)$  — лінійний фільтр зображення;  $(i,j)$  — індекс растру пікселів;  $k_i, k_j$  — розміри кадру зображення;  $p_{i,j}^o$  — кольорова складова растру ідеального неспотвореного зображення;  $\gamma_{i-i,j-j}$  — елемент маски фільтру;  $(2r_i + 1) \times (2r_j + 1)$  — розмір маски фільтру.

Актуальним є, на прикладі реалізації даної операції, провести дослідження швидкодії її виконання, з урахування можливостей оптимізації коду та вибору математичного забезпечення.

**Аналіз публікацій та постановка задачі.** Сучасне програмне забезпечення залежить від якості інструментів, за допомогою яких воно було створене — компіляторів та інтерпретаторів. Від того, наскільки оптимально компілятор векторизує отриманий код, залежить, чи буде програма, за критерієм швидкодії, задовольняти користувача. В даному контексті — швидкодія залежить від можливостей компілятора векторизувати код програми, та від апаратної складової.

На сьогоднішній день, компілятори GNU Compiler Collection (далі GCC/G++) [2] та Clang [3] є незамінними інструментами будь-якого розробника. Це заслуга багаторічної праці, як відкритого співтовариства FSF (Free Software Foundation) [4], так і університетської розробки, з великої підтримки фірми Apple (на початку). Спільнота FSF розробляє і всіляко підтримує GCC, а Apple зробила ставку на Clang, як на компілятор, який є базовим для всіх її продуктів.

GCC являє собою набір компіляторів для різних мов програмування, розроблений в рамках проекту GNU. Початок GCC було покладено Річардом Столлманом, який реалізував перший варіант GCC у 1985 році на нестандартному і непереносному діалекті мови Паскаль; пізніше компілятор був переписаний (Леонардом Тауером і Річардом

Столлманом) за допомогою мови C, та випущений у 1987 році, як компілятор проекту GNU.

Clang є фронтендом для мов програмування C, C++, Objective-C, Objective-C++ та OpenCL. Для оптимізації (векторизації) і кодогенерації у ньому використовується фреймворк LLVM. Метою проекту є створення заміни GCC. Розробка ведеться згідно концепції opensource. У проекті беруть участь працівники декількох корпорацій, у тому числі, Google та Apple. Вихідний код доступний на умовах `bsd`—подібної ліцензії.

Отже, `Gcc` та `Clang` використовують, для отримання оптимального вихідного програмного забезпечення, за показником швидкодії виконання. Під оптимальністю розуміється те, що використання команд асемблера `SIMD` буде на ділянках програми, що представляють найбільш ресурсомісткі/ресурсозатратні частини програмного продукту (ПП), найбільш поширеним. Під ресурсомісткістю слід розуміти те, що дана ділянка програми найбільш часто використовується, або містить у собі велику вкладеність циклів, що і призводить до уповільнення загальної програми і т.п. Таким чином, використовуючи команди `SIMD`—асемблера, кінцевий ПП отримує пріоритет продуктивності. Але слід відзначити той автоматизм, з яким компілятори працюють (`Gcc` та `Clang`): яким би не було завдання, оптимізація йде приблизно за таким алгоритмом перетворення типів даних:

```
{u8} → {u16} → {u32} → {f32}[...],  
{f32} → {u32} → {u16} → {u8}.  
(найбільш ресурсомістка частина операцій з f32): [...]
```

Операції з `f32` (...) слід розуміти, як неефективну (що знижує продуктивність), але таку, що призводить до точності «біт в біт». З цього випливає, що деякі ділянки програмного коду слід переписати вручну і тут вступають в дію фахівці зі знанням мови асемблера (як базового рівня так і `SIMD`—команд), які й відповідалі, щодо ухвалення рішення про дотриманні принципу «біт в біт», і/або переписування коду (із застосуванням цілочисельного обчислення). У підсумку програма набуває вигляд, що трохи відштовхує середньостатистичного фахівця в сфері програмування, але дає пріоритет, як мінімум у 4 рази. Мало відомий факт, що у таких великих корпораціях, як Google та Apple, є штат програмістів, що розробляють нові чисельні методи, що використовують “single point” арифметику, але результати (за критерієм точності) подібні до обчислень з використанням “floating point” арифметики. Слідством використання таких алгоритмів є мінімальна припустима втрата точності на протязі до значного підвищення швидкодії алгоритму. Цей ПП роблять за допомогою найновішого

асемблера, застосовуючи його найновіші `SIMD`—команди та, найчастіше, це `inline асемблер` (`Inline Assembly`).

Тож в подальшому викладенні поставимо за мету дослідити переваги використання оптимізованого коду під час реалізації операцій згортки (1) при обробці ЦЗ та отримати нові лінійні оператори для забезпечення виконання саме такої обчислювальної операції.

Виклад основного матеріалу. Десять років тому було домінування `CISC`—архітектура процесорів. Проте, з розвитком мобільного сегменту ринку (мобільні телефони, планшети, WiFi, тощо) першість перейшла до `RISC`—архітектури процесорів, а точніше – до стандартів процесорів фірми ARM. Найбільш популярними ядрами процесорів з 32-bit архітектурою стали: `Cortex-A8`, `Cortex-A9` та `Cortex-A15` [5, с. 13]. Наприкінці 2011 року було опубліковано нову версію 64-bit архітектури `ARMv8` з наступними стандартами ядер процесорів: `Cortex-A53` та `Cortex-A57`. Найбільш популярним ядром для сегменту одноплатних персональних комп'ютерів (далі `SBC`), стала версія `Cortex-A53` [6, с. 13]. Прикладом `SBC` можуть слугувати `DragonBoard™ 410c` та `Raspberry Pi 3` [7].

Векторизація коду дозволяє виконувати, за один такт процесора, безліч одноманітних дій з банком даних (векторним регістром) — `SIMD`—операцію. На вхід будь-якої `SIMD`—операції подаються декілька векторних регістрів, довжина яких варіюється, залежно від архітектури процесора (`CISC` або `RISC`): у `CISC` — довжина векторного регістру може складати 128-bit (`xmm`) або 256-bit (`yymm`), 512-bit (`zmm`); для `RISC` ця довжина завжди фіксована, та складає 128-bit, незалежно від розрядності процесора [5, с. 13; 6, с. 13].

Прикладом, що демонструє якість процедури авто—векторизації програмного забезпечення, з використанням компілятора “GNU C++ compiler” (далі `g++`), для архітектур `ARMv7-A` (прапорі компіляції: `O3 -fstrict-aliasing -fauto-inc-dec -fpre-empt-loop-aggays -mcpu=neon`), може бути дослідження її швидкодії на операції (1). Швидкодія програми, що реалізувала операцію (1), досліджувалась на операційній системі `Android 5.0.1` з архітектурою процесора — `Cortex-A53` (процесор: `Mediatek MT6752`), що дозволяє оцінити, як якість авто—векторизації, так і зворотню сумісність `ARMv7-A` коду програми з `ARMv8` апаратною складовою.



використовують оптимізацію/авто—векторизацію (за допомогою актизації прапора -O3 або -Ofast) розраховувати, що вона відбудеться з високою точністю та не призведе до втрати точності розрахунків.

Проте, якщо вхідні данні транслювати в 16-bit діапазон, то, як виявляється, виконання алгоритму операції (1) буде займати, як мінімум у 4—ри рази менше команд, а крок зміниться на 32 елемента за один раз — незалежно від розміру ядра згортки. Для підтвердження такого зауваження було проведено серію експериментів, під час яких порівнювалась швидкодія операції (1) для різних розмірів маски фільтру (від 3x3 до 11x11) та різних розмірах ЦЗ (від 10<sup>6</sup> до 8·10<sup>6</sup> пікселів).

Для кожного розміру маски фільтра, та для кожного розміру ЦЗ було проведено по 1000 експериментів для порівняння швидкодії при авто-вектризації коду, написаного на мові C++, та при трансляції вручну типів у 16—бітний дапазон на мові асемблера. Усереднене значення  $T$  відношення часу виконання:

$$T = \frac{\text{час виконання при трансляції 16-bit}}{\text{час виконання при авто-вектризації}}.$$

Подано на графіку (рис.3). Як видно, виграш у часі при використанні 16—бітних обчислень складає від 8 до 11 разів у порівнянні з часом виконання операції (1) при авто—векторизації компілятором.

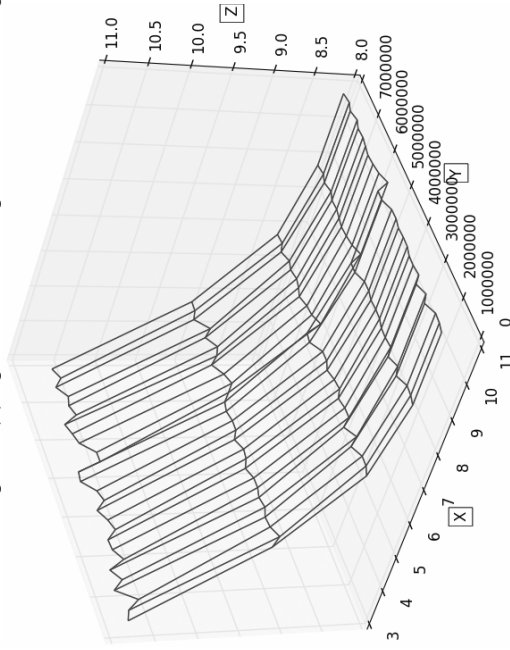


Рис.3. Відношення часу виконання при 16—бітних обчисленнях до часу виконання операції (1) при авто—векторизації: [x] – розмір ядра згортки; [y] - розмір зображення у пікселях; [z] - прискорення

Проте, варто зауважити про існуючі обмеження на використання 16—бітних обчислень при реалізації згортки (1). З урахуванням того, що  $p_{ii,jj}^0$  (значення кольорової складової растру) цілочисельне з діапазону від 0 до 255, можемо записати:

$$\left| \sum_{ii=i-t_i}^{i+t_i} \sum_{jj=j-t_j}^{j+t_j} \gamma_{ii-i,jj-j} p_{ii,jj}^0 \right| \leq 255 \cdot \sum_{ii=i-t_i}^{i+t_i} \sum_{jj=j-t_j}^{j+t_j} |\gamma_{ii-i,jj-j}|.$$

Отже для забезпечення можливості виконання 16—бітної операції достатньо вимагати, щоб елементи маски  $\gamma$  були типу ShortInt та при реалізації виразу (1) виконувалась нерівність

$$\sum_{ii=i-t_i}^{i+t_i} \sum_{jj=j-t_j}^{j+t_j} |\gamma_{ii-i,jj-j}| \leq 127. \quad (2)$$

В подальшому викладенні подамо приклади масок, що задовольняють умові (2). Не зменшуючи загальності, нехай задано деякий безрозмірний растр, кожному пікселю якого поставлено у відповідність двійка індексів  $\{(i,j)\}_{i,j \in \mathbb{Z}}$ , що визначають його місеположення.

Позначимо  $\{p_{i,j}\}_{i,j \in \mathbb{Z}}$  — для запису обчислювальної схеми при роботі з послідовностями кольорових складових (червоною, зеленою та синьою).

Для реалізації субполосної фільтрації послідовності  $\{p_{i,j}\}_{i,j \in \mathbb{Z}}$  припускаємо, що значення інтенсивності в кожному пікселі можна подати у вигляді суми

$$p_{i,j} = pL_{i,j} + pH_{i,j},$$

де  $pL_{i,j}$ ,  $pH_{i,j}$  — відповідно, низько— та височастотні складові, які можна визначати на основі таких лінійних операторів [8]:

$$pL_{i,j} = L(p^{i,j}) = \sum_{ii=i-1}^{i+1} \sum_{jj=j-1}^{j+1} \gamma L_{ii-i,jj-j} p_{ii,jj}, \quad i,j \in \mathbb{Z},$$

$$pH_{i,j} = H(p^{i,j}) = \sum_{ii=i-1}^{i+1} \sum_{jj=j-1}^{j+1} \gamma H_{ii-i,jj-j} p_{ii,jj}, \quad i,j \in \mathbb{Z},$$

де

$$\gamma L = \frac{1}{64} \begin{pmatrix} 1 & 6 & 1 \\ 6 & 36 & 6 \\ 1 & 6 & 1 \end{pmatrix}; \gamma H = \frac{1}{64} \begin{pmatrix} -1 & -6 & -1 \\ -6 & 28 & -6 \\ -1 & -6 & -1 \end{pmatrix} \quad (3)$$

або

$$\gamma L = \frac{1}{36} \begin{pmatrix} 1 & 4 & 1 \\ 4 & 16 & 4 \\ 1 & 4 & 1 \end{pmatrix}; \gamma H = \frac{1}{36} \begin{pmatrix} -1 & -4 & -1 \\ -4 & 20 & -4 \\ -1 & -4 & -1 \end{pmatrix}. \quad (4)$$

Зауважимо, що тут і далі в роботі виконання умови (2) вимагається дія цілочисельних елементів масок згорток (3)–(4) до ділення на величину, внесену в знаменник.

Для контрастування зображень можна використовувати оператор

$$pK_{i,j} = K \left( p^{i,j} \right) = \sum_{\substack{i+2 \\ \tilde{i}=i-2}}^{i+2} \sum_{\substack{j+2 \\ \tilde{j}=j-2}}^{j+2} \gamma K_{\tilde{i}-i, \tilde{j}-j} p_{\tilde{i}, \tilde{j}}, \quad i, j \in \mathbb{Z},$$

де

$$\left\{ pK_{i,j} \right\}_{i,j \in \mathbb{Z}} \text{ — кольорова складова відконтрастованого растру;}$$

$$\gamma K = \frac{1}{16} \begin{pmatrix} 0 & 0 & 2 & 0 & 0 \\ 0 & 3 & -13 & 3 & 0 \\ 2 & -13 & 48 & -13 & 2 \\ 0 & 3 & -13 & 3 & 0 \\ 0 & 0 & 2 & 0 & 0 \end{pmatrix}, \quad (5)$$

який, до того ж, є псевдо зворотнім оператором [9] до оператора  $L \left( p^{i,j} \right)$  низькочастотної фільтрації з маскою (4).

Стабілізація цифрового зображення, спотвореного мікрорухом камери фіксації (підвищення різкості) [10] можлива за використанням такого оператора:

$$pR_{i,j} = R \left( p^{i,j} \right) = \sum_{\substack{i+2 \\ \tilde{i}=i-2}}^{i+2} \sum_{\substack{j+2 \\ \tilde{j}=j-2}}^{j+2} \gamma R_{\tilde{i}-i, \tilde{j}-j} p_{\tilde{i}, \tilde{j}}, \quad i, j \in \mathbb{Z},$$

де  $\left\{ pR_{i,j} \right\}_{i,j \in \mathbb{Z}}$  — кольорова складова растру з покращеною різкістю;

$$\gamma R = \frac{1}{42} \begin{pmatrix} 0 & 0 & -1 & 0 & 0 \\ 0 & 1 & -8 & 1 & 0 \\ -1 & -8 & 74 & -8 & -1 \\ 0 & 1 & -8 & 1 & 0 \\ 0 & 0 & -1 & 0 & 0 \end{pmatrix}, \quad (6)$$

або

$$\gamma R = \frac{1}{15} \begin{pmatrix} 0 & 0 & -1 & 0 & 0 \\ 0 & 1 & -4 & 1 & 0 \\ -1 & -4 & 31 & -4 & -1 \\ 0 & 1 & -4 & 1 & 0 \\ 0 & 0 & -1 & 0 & 0 \end{pmatrix}. \quad (7)$$

Зауважимо, що використання масок (6) та (7) забезпечує, відповідно, менше та більше підвищення різкості.

Для чотирикратного рекурентного поповнення кількості членів послідовності  $\left\{ p_{i,j,0} \right\}_{i,j \in \mathbb{Z}}$  (двократного рекурентного збільшення лінійних розмірів цифрового зображення) [11; 12] достатньо на кожному  $K$ —му ( $\kappa = 1, 2, \dots$ ) кроці рекурсії визначати члени нової послідовності кольорових складових растру  $\left\{ p_{2i,2j,\kappa} \right\}_{i,j \in \mathbb{Z}}$ , на основі лінійних операторів, що основані на даних попереднього кроку рекурсії:

$$p_{2i,2j,\kappa} = A \left( p^{\kappa-1,i,j} \right), \quad p_{2i+1,2j,\kappa} = B \left( p^{\kappa-1,i,j} \right),$$

$$p_{2i,2j+1,\kappa} = C \left( p^{\kappa-1,i,j} \right), \quad p_{2i+1,2j+1,\kappa} = D \left( p^{\kappa-1,i,j} \right),$$

$$i, j \in \mathbb{Z},$$

де  $A \left( p^{\kappa-1,i,j} \right); B \left( p^{\kappa-1,i,j} \right); C \left( p^{\kappa-1,i,j} \right); D \left( p^{\kappa-1,i,j} \right)$  можна задавати з умов масштабування. Так, якщо є потреба збільшувати зображення зі згладжуванням, то мають місце такі оператори:

$$P_{a,b,\kappa} = \sum_{\substack{i+1 \\ \tilde{i}=i-1}}^{i+1} \sum_{\substack{j+1 \\ \tilde{j}=j-1}}^{j+1} \gamma \Lambda_{\tilde{i}-i, \tilde{j}-j} p_{\tilde{i}, \tilde{j}, \kappa-1},$$

де

$\{p_{i,j,k}\}_{i,j \in \mathbb{Z}}$  — послідовність однієї із кольорових складових  $k$  — го зменшеного растру, то  $p_{i,j,k} = p_{2i,2j,k-1}$ , при цьому пам'ять під розміщення величин  $p_{2i+1,2j,k-1}$ ,  $p_{2i,2j+1,k-1}$ ,  $p_{2i+1,2j+1,k-1}$ , може бути вивільнена. Але, окрім тривіального визначення членів послідовності  $\{p_{i,j,k}\}_{i,j \in \mathbb{Z}}$  згідно (7), реалізують збільшення масштабу зображення зі згладжуванням, контрастуванням, направленою фільтрацією, тощо, залежно від конкретних потреб. В такому разі величини  $p_{i,j,k}$  визначаються на підставі деякого лінійного функціоналу:

$$p_{i,j,k} = F \left( p^{\kappa-1,2i,2j} \right) = \sum_{ii=2i-r}^{2i+r} \sum_{jj=2j-r}^{2j+r} \gamma_{ii-ii,jj-jj} p_{ii,jj,k-1}$$

$i, j \in \mathbb{Z}$ ,  $r = 1, 2, \dots$ , що побудований на даних попереднього кроку рекурсії, а в якості  $\gamma$  можна використовувати маски (3) — (7).

**Висновки.** В роботі проведено дослідження реалізації згортки мотрохромної складової растру цифрового зображення з квадратною маскою лінійного двовимірного фільтру. Експериментально доведено, що при авто—векторизації коду, що реалізує операцію (1), за допомогою компілятора gcc/g++ для архітектури ARMv7-A, відбувається автоматична конвертація типів даних для 32—розрядних обчислень, задля забезпечення гарантованої точності обчислень. Проте, проведені автотрами дослідження доводять, що за допомогою лише 16—бітних операцій та трансляції на мові асемблера ресурсномісткої частини алгоритму, можна отримувати вираш від 8 до 11 разів по швидкодії, при виконанні операції (1). В роботі наведено умову (2), за якою є можливим досягнення такого вирашу та подано приклади відповідних лінійних операторів, що можуть мати реалізацію, при розробці програмного забезпечення щодо обробки цифрових зображень (та відео).

Подальші дослідження мають за мету: проведення оцінки вирашу при застосуванні 16—бітних обчислень для архітектури процесорів ARMv8 (Mediatek MT6752) що реалізує операцію (1), та отриманні нових відповідних лінійних операторів, наприклад, для визначення особливостей ЦЗ, масштабного аналізу, тощо.

$$\Lambda = \begin{cases} A : a = 2i, b = 2j, \\ B : a = 2i + 1, b = 2j, \\ C : a = 2i, b = 2j + 1, \\ D : a = 2i + 1, b = 2j + 1; \end{cases} \quad (8)$$

$$\gamma A = \frac{1}{64} \begin{pmatrix} 1 & 6 & 1 \\ 6 & 36 & 6 \\ 1 & 6 & 1 \end{pmatrix}; \quad \gamma B = \frac{1}{16} \begin{pmatrix} 0 & 0 & 0 \\ 1 & 6 & 1 \\ 1 & 6 & 1 \end{pmatrix};$$

$$\gamma C = \frac{1}{16} \begin{pmatrix} 0 & 1 & 1 \\ 0 & 6 & 6 \\ 0 & 1 & 1 \end{pmatrix}; \quad \gamma D = \frac{1}{4} \begin{pmatrix} 0 & 0 & 0 \\ 0 & 1 & 1 \\ 0 & 1 & 1 \end{pmatrix}.$$

Коли немає потреби збільшувати зі згладжуванням, то варто застосувати наступні оператори:

$$P_{a,b,k} = \sum_{ii=i-1}^{ii+1} \sum_{jj=j-1}^{jj+1} \gamma \Lambda_{ii-ii,jj-jj} p_{ii,jj,k-1},$$

де  $\Lambda$  — визначається згідно (6);

$$\gamma A = \frac{1}{50} \begin{pmatrix} 0 & 0 & -1 & 0 & 0 \\ 0 & 0 & 2 & 0 & 0 \\ -1 & 2 & 46 & 2 & -1 \\ 0 & 0 & 2 & 0 & 0 \\ 0 & 0 & -1 & 0 & 0 \end{pmatrix}; \quad \gamma B = \frac{1}{82} \begin{pmatrix} 0 & 0 & 0 & 0 & 0 \\ 0 & 0 & -7 & 0 & 0 \\ -1 & 2 & 46 & 2 & -1 \\ -1 & 2 & 46 & 2 & -1 \\ 0 & 0 & -7 & 0 & 0 \end{pmatrix};$$

$$\gamma C = \frac{1}{82} \begin{pmatrix} 0 & 0 & -1 & -1 & 0 \\ 0 & 0 & 2 & 2 & 0 \\ 0 & -7 & 46 & -7 & -1 \\ 0 & 0 & 2 & 2 & 0 \\ 0 & 0 & -1 & -1 & 0 \end{pmatrix}; \quad \gamma D = \frac{1}{20} \begin{pmatrix} 0 & 0 & 0 & 0 & 0 \\ 0 & 0 & -1 & 7 & -1 \\ 0 & -1 & 7 & 7 & -1 \\ 0 & -1 & 7 & 7 & -1 \\ 0 & 0 & -1 & -1 & 0 \end{pmatrix}.$$

Для рекурентного двократного збільшення масштабу (двократного зменшення горизонтального та вертикального розмірів) зображення необхідно на кожному  $k$  — му ( $k = 1, 2, \dots$ ) кроці рекурсії чотирикратно зменшувати кількість пікселів, звільнюючи у новому  $k$  — му растрі місце з під трьох пікселів: праворуч, зверху та зверху—навискіс від кожного  $(i, j)$  — го пікселя  $(k-1)$  — го растру. Тобто, якщо

## Література.

1. **М.Д. Флунп.** Very high speed computers / Michael J Flynn. // Proceedings of the IEEE: [Vol: 54, Issue: 12], 1966. — р. 1901–1909.
2. **Артур Гриффитс.** GSS. Настольная книга пользователей, программистов и системных администраторов / Артур Гриффитс; [пер. з англійської на рос. ООО «ТИД «ДС» 2004]. — К.: ТИД, 2004. — 624 с.
3. **Bruno Cardoso Lopes.** Getting Started with LLVM Core Libraries / Bruno Cardoso Lopes, Rafael Auler; -К.: Packt Publishing, 2014. — 314 с.
4. **Joshua Gay.** Free Software, Free Society: Selected Essays of Richard M. Stallman / Joshua Gay; — К.: Free Software Foundation, 2002. — 230 с.
5. **ARM® Cortex®-A15 MPCore™ Processor:** (технічний довідник з архітектури процесорів серії Cortex-A15 фірми ARM) [Електронний документ]: 2011—2013. — С 392. — Режим доступу: [http://infocenter.arm.com/help/topic/com.arm.doc.ddi0438i/DDI0438I\\_cortex\\_a15\\_r4p0\\_trm.pdf](http://infocenter.arm.com/help/topic/com.arm.doc.ddi0438i/DDI0438I_cortex_a15_r4p0_trm.pdf). — Назва з екрану.
6. **ARM® Cortex®—A53 MPCore Processor:** (технічний довідник з архітектури процесорів серії Cortex-A53 фірми ARM) [Електронний документ]: 2013—2014. — С 620. — Режим доступу: [http://infocenter.arm.com/help/topic/com.arm.doc.ddi0500g/DDI0500G\\_cortex\\_a53\\_trm.pdf](http://infocenter.arm.com/help/topic/com.arm.doc.ddi0500g/DDI0500G_cortex_a53_trm.pdf). — Назва з екрану.
7. **Raspberry Pi 3 Model B:** (технічна специфікація що містить опис апаратного забезпечення одно-платного персонального комп'ютера — Raspberry Pi 3 Model B) [Електронний документ]: — 2015. — С 1. — — — Режим доступу:

<https://cdn.sparkfun.com/datasheets/Dev/RaspberryPi/2020826.pdf>.

Назва з екрану.

8. **Приставка П.О.** Обчислювальні аспекти застосування поліноміальних сплайнів при побудові фільтрів / Актуальні проблеми автоматизації та інформаційних технологій : Зб. наук. праць. — Д.: Вид-во Дніпропетр. ун-ту., 2006. — Т.10. — С.3–14.
9. **Приставка П.О.** Побудова контрастних фільтрів за використанням поліноміальних сплайнів / Актуальні проблеми автоматизації та інформаційних технологій : Зб. наук. праць. — Д.: Вид-во Дніпропетр. ун-ту., 2007. — Т.11. —С.15–22.
10. **Приставка П.О., Чолишкіна О.Г.** Дослідження комбінованих фільтрів для підвищення різкості зображень / Актуальні проблеми автоматизації та інформаційних технологій : Зб. наук. праць. — Д.: Вид-во Дніпропетр. ун-ту., 2009. —Т.13. —С.39–53.
11. **Приставка П.О.** Поповнення послідовностей відліків функцій двох змінних на основі поліноміальних сплайнів // Вісник НАУ.– 2007.–№3–4. –С. 36–39.
12. **Приставка П.О.** Поповнення зі згладжуванням послідовностей відліків функцій двох змінних на основі сплайнів // Математичне моделювання. – 2008. – №1(18). – С.9–12.